

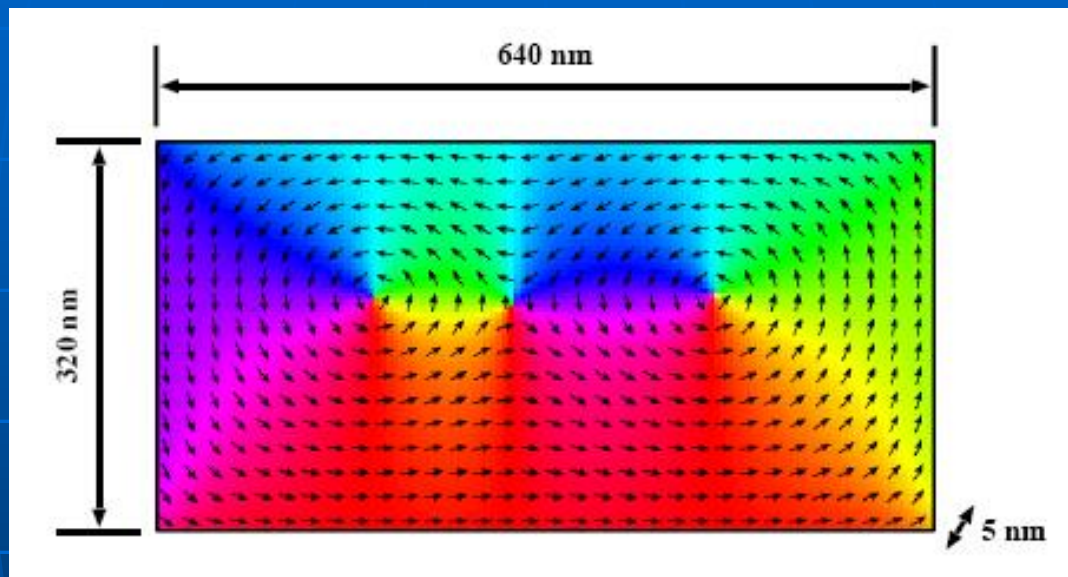
# Микромагнитное моделирование: детали алгоритма

О.С. Трушин  
Ярославский филиал ФТИАН

# План

- Введение (зачем это нужно)
- Описание модели
- Вывод формул магнитостатики
- Дискретизация модели
- Компьютерный алгоритм
- Известные пакеты программ
- Примеры микромагнитных расчетов
- Выводы

# Микромагнитная модель



Моделирование поведения магнитных материалов  
в микромасштабе ( нм – мкм )

# История развития

- Ландау-Лифшиц 1935 г. (идея функционала намагниченности)
- William F. Brown 1963 (основные компоненты модели)
- Компьютерная реализация 1980-наши дни

# Основная концепция

Магнетик – сплошная среда, в каждой точке которой задан вектор намагниченности

$$\vec{M} = M_s \cdot \vec{m}(x, y, z)$$

Намагниченности насыщения принимается одинаковой во всех точках. Тогда ориентация вектора намагниченности определяется единичным вектором.

$$\vec{m} = \frac{\vec{M}}{M_s}$$

Полная энергия магнетика

$$E_{tot} = E_{exc} + E_{anis} + E_{ext} + E_{mstat}$$

# Обменное взаимодействие

$$E_{exc} = \int \frac{A}{V M_s^2} \left( |\nabla M_x|^2 + |\nabla M_y|^2 + |\nabla M_z|^2 \right) d^3 r.$$

Ответственна за ферромагнитное упорядочение спинов.  
Она возрастает при разрушении спинового упорядочения.

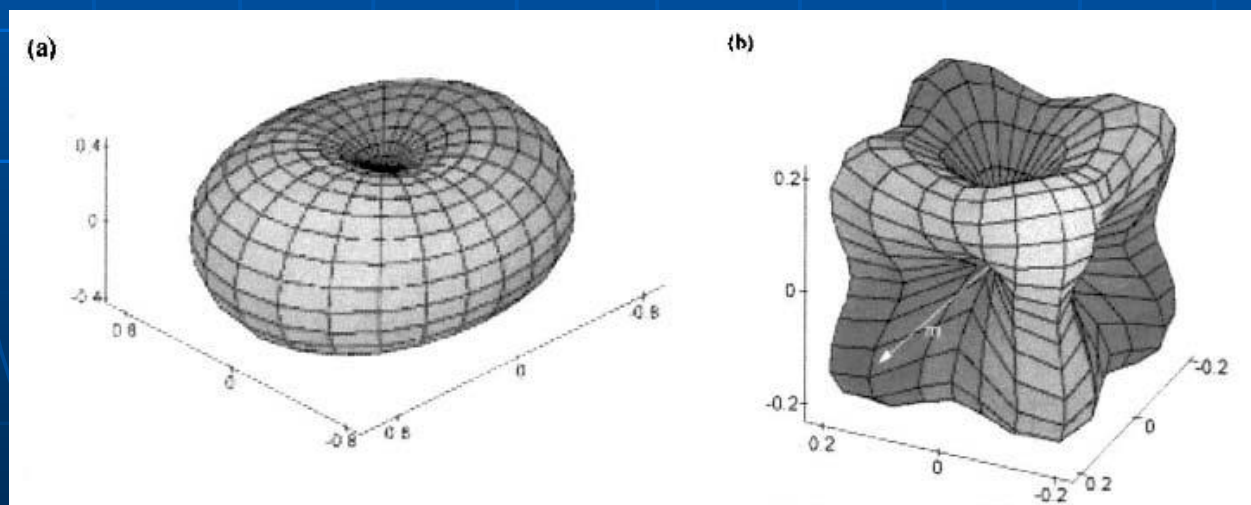
Для пермалоя (Ni-Fe)  $A=1.05e-11$  J/m

# Магнитная анизотропия

$$\vec{E}_{anis} = \int_V K \sin^2 \phi d^3 r,$$

Для одноосной анизотропии

Обусловлена анизотропией кристаллической решетки магнетика и ответственна за наличие легких и трудных осей намагничивания



Энергетическая поверхности для а) одноосной анизотропии, б) кубической анизотропии

# Взаимодействие с внешним полем

$$E_{ext} = - \int_V \mu_0 \vec{M} \vec{H}_{ext} d^3 r.$$

обусловлена взаимодействием вектора намагниченности с внешним полем и возрастает с увеличением угла между этими векторами.

# Магнитостатическое взаимодействие

$$E_{mstat} = \int_V \frac{\mu_0}{2} \vec{M}(r) \cdot \vec{H}_d d^3 r.$$

$$E_{mstat} = \int_V \frac{\mu_0}{8\pi} \vec{M}(r) \cdot \left[ \int_V \nabla \vec{M}(\vec{r}') \frac{\vec{r} - \vec{r}'}{|\vec{r} - \vec{r}'|^3} d^3 r' - \int_S \vec{n} \cdot \vec{M}(\vec{r}') \frac{\vec{r} - \vec{r}'}{|\vec{r} - \vec{r}'|^3} d^2 r' \right] d^3 r.$$

обусловлена классическим (максвелловским) дальнедействующим взаимодействием магнитных моментов.

Это взаимодействие ответственно за образование магнитных вихрей

# Вывод выражений для магнитостатической энергии

$$\vec{H} \equiv \frac{\vec{B}}{\mu_0} - \vec{M}$$

$$\operatorname{div} \vec{B} = 0$$



$$\operatorname{div} \vec{H} = -\operatorname{div} \vec{M}$$

$$\vec{H} = \vec{H}_0 + \vec{H}_d$$

$$\operatorname{div} \vec{H}_0 = 0$$



$$\operatorname{div} \vec{H}_d = -\operatorname{div} \vec{M}$$

$$\operatorname{rot} \vec{H} = \vec{j}$$

$$\operatorname{rot} \vec{H}_0 = \vec{j}$$



$$\operatorname{rot} \vec{H}_d = 0$$

$$\rho_M = -\operatorname{div} \vec{M}$$

$$\vec{H}_d = \vec{\nabla} \psi_d$$



$$\Delta \psi_d = \rho_M$$

# Решение уравнения Пуассона

$$\Delta \psi_d = \rho_M$$

Метод функций Грина

$$\Delta \psi_G = 0$$



$$\psi_G = \frac{1}{r}$$

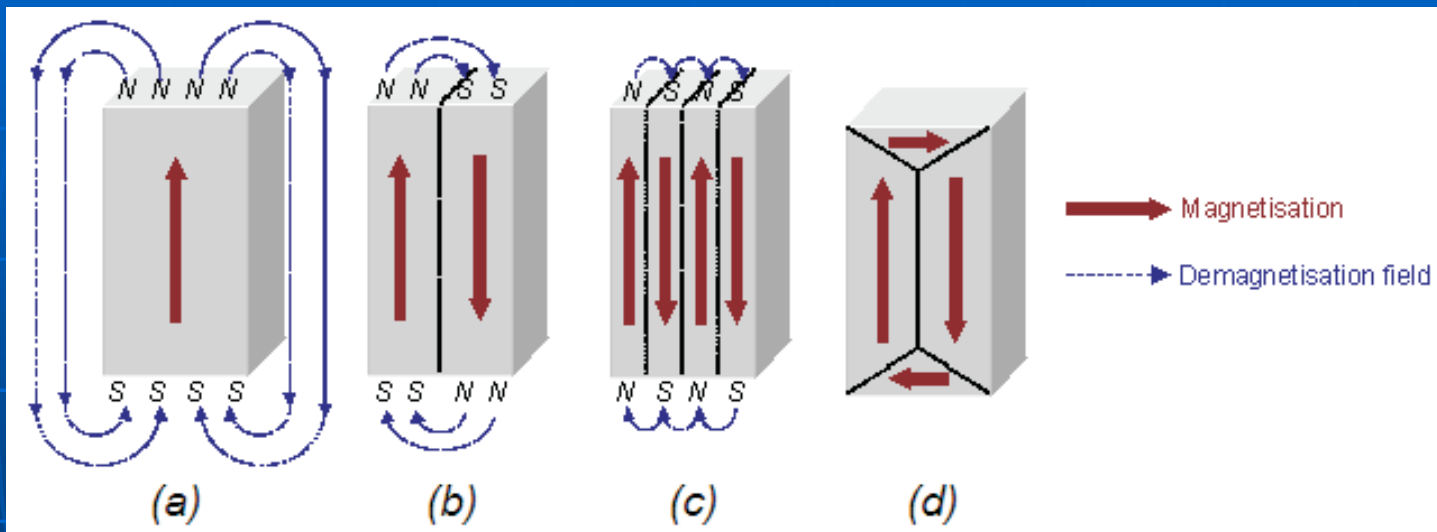
$$\psi_d = \frac{1}{4\pi} \int \frac{\rho_M(\vec{r}')}{|\vec{r} - \vec{r}'|} dV$$

$$\vec{H}_d = \frac{1}{4\pi} \left[ \int_V \rho_M \cdot \frac{\vec{r} - \vec{r}'}{|\vec{r} - \vec{r}'|^3} dV + \int_S \sigma_M \cdot \frac{\vec{r} - \vec{r}'}{|\vec{r} - \vec{r}'|^3} dS \right]$$

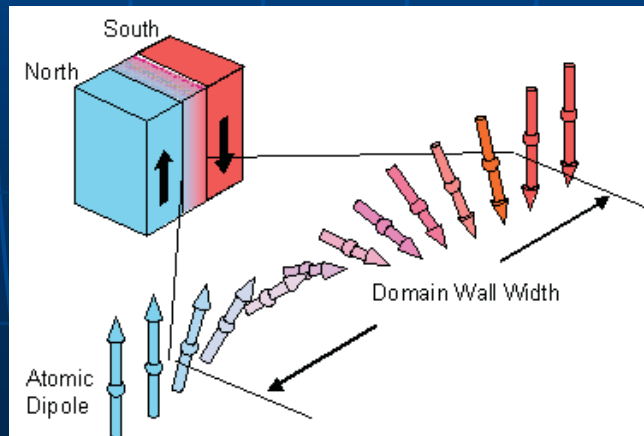
$$\rho_M = -\operatorname{div} \vec{M}$$

$$\sigma_M = \vec{n} \cdot \vec{M}$$

# Минимизация магнитостатической энергии путем замыкания потока

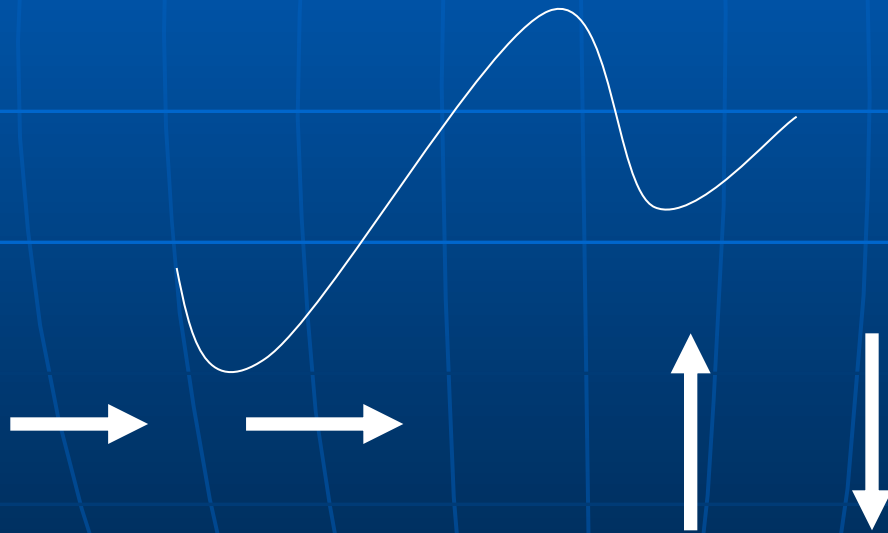


Формирование  
Доменных стенок

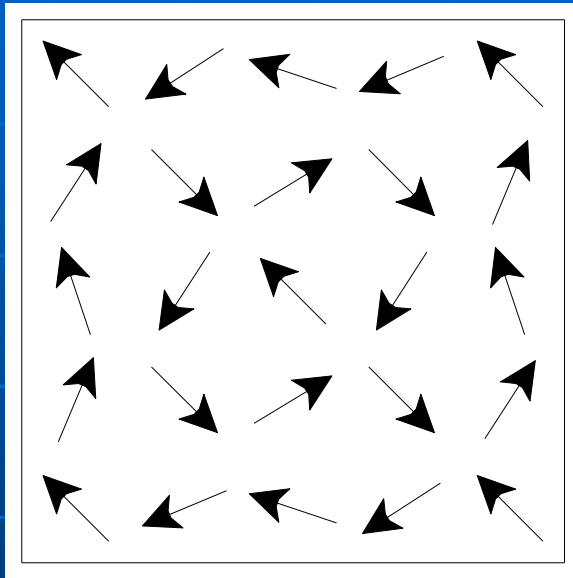


# Простая модель: система магнитных диполей

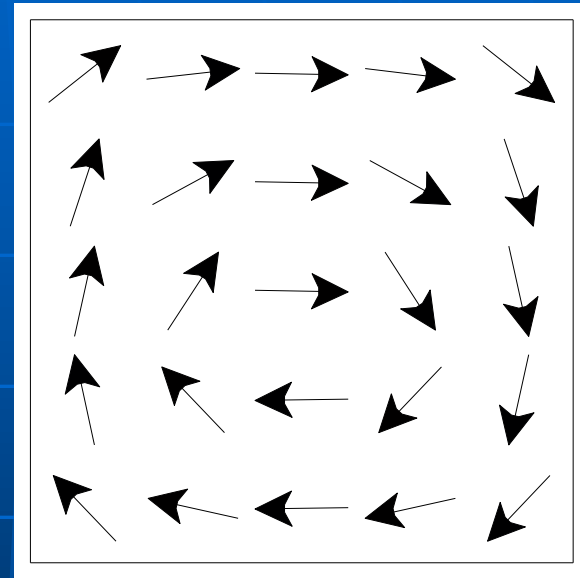
$$E_{ij} = -\frac{\mu_0}{4\pi \cdot r_{ij}^3} \left( 3(\vec{M}_i \cdot \vec{e}_{ij})(\vec{M}_j \cdot \vec{e}_{ij}) - \vec{M}_i \cdot \vec{M}_j \right)$$



# Локальные минимумы энергии: пример расчета в OOMMF

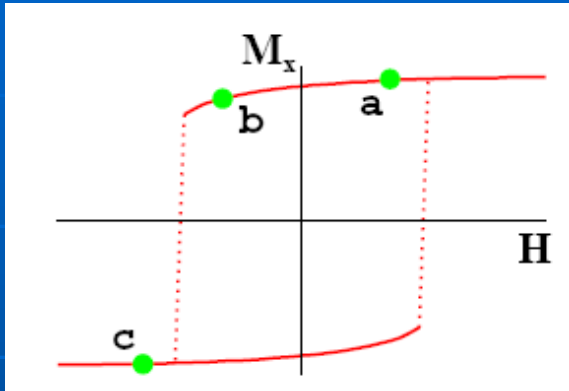


$E=17096 \text{ J/m}^3$



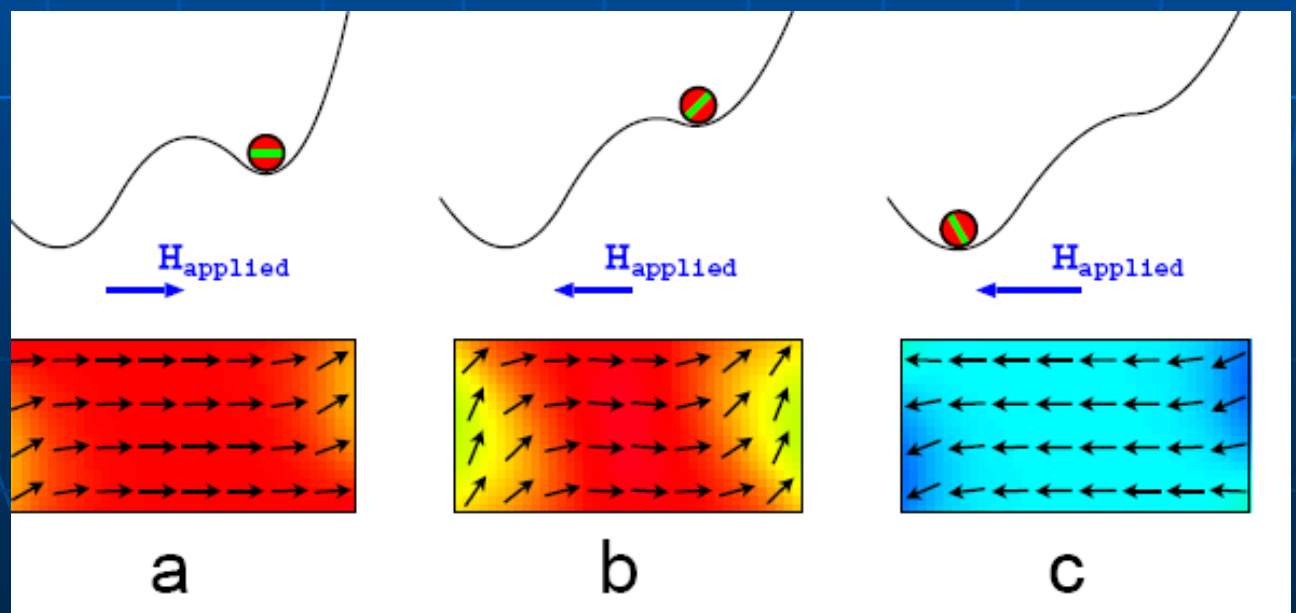
$E=15708 \text{ J/m}^3$

# Решение статической задачи



$$H_{\text{eff}} = -\frac{1}{\mu_0} \frac{\partial E}{\partial M}$$

$$\vec{m} \times \vec{H}_{\text{eff}} = 0$$



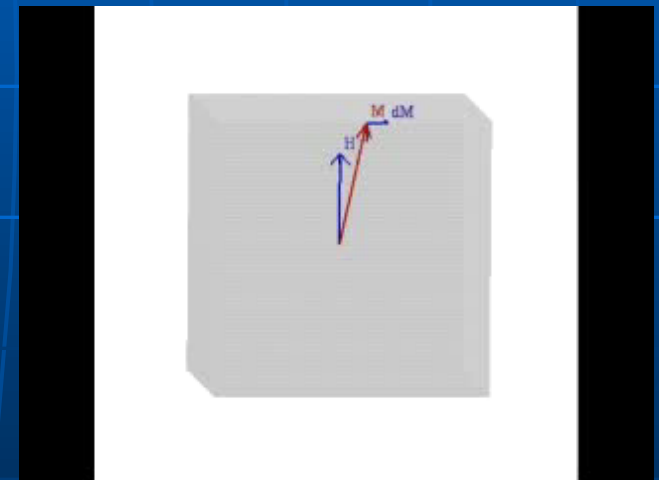
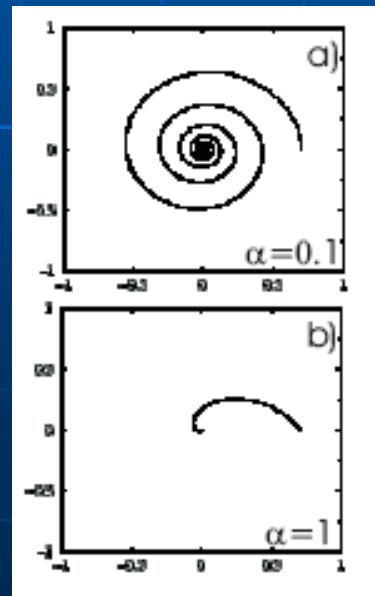
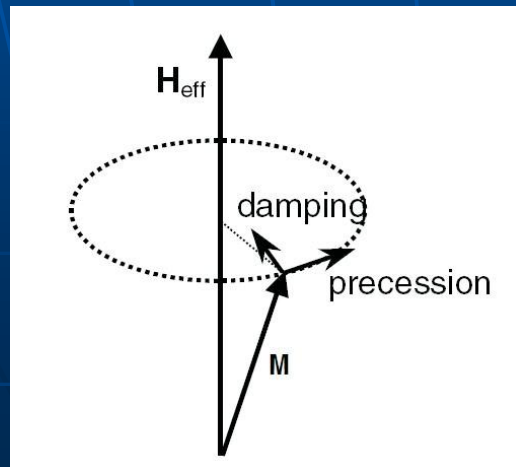
# Решение динамической задачи

Уравнение Ландау-Лифшица-Гильберта

$$\frac{d\mathbf{M}}{dt} = \frac{-\omega}{1 + \lambda^2} \mathbf{M} \times \mathbf{H}_{\text{eff}} - \frac{\lambda\omega}{(1 + \lambda^2)M_s} \mathbf{M} \times (\mathbf{M} \times \mathbf{H}_{\text{eff}})$$

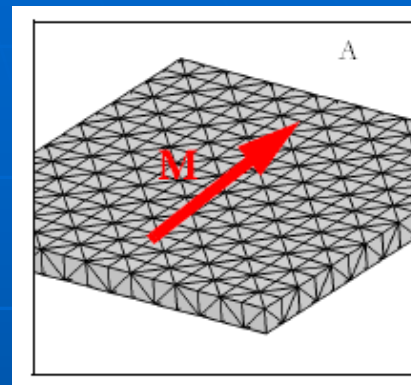
где

$$\mathbf{H}_{\text{eff}} = -\frac{1}{\mu_0} \frac{\partial E}{\partial \mathbf{M}}$$



# Пространственная дискретизация

$$\int \rightarrow \Sigma$$



$$\delta_0 = \sqrt{A/K}$$

Типичные масштабы задачи  
параметр доменной стенки  
(от 1 нм до 100 нм в магнитомягких )

$$l_{ex} = \sqrt{\frac{A}{\mu_0 M_s^2}}$$

обменная длина  
– толщина, на которой обменное  
взаимодействие доминирует ( $\sim 2$  нм)

Определяет толщину пленки ниже которой  
выгоднее стенки Блоха, чем Нееля

Типичный размер сетки  
2x2x2 nm<sup>3</sup>

# Численная модель

$$E_Z = -\mu_0 \sum_{i,j,k=\frac{1}{2},\frac{3}{2},\dots} \mathbf{H}_a|_{i,j,k} \cdot \mathbf{M}_{i,j,k} \delta V$$

$$E_x = 2A \sum_{i,j,k=\frac{1}{2},\frac{3}{2},\dots} \left( \frac{1 - \mathbf{m}_{i,j,k} \cdot \mathbf{m}_{i+1,j,k}}{\delta x^2} + \frac{1 - \mathbf{m}_{i,j,k} \cdot \mathbf{m}_{i,j+1,k}}{\delta y^2} + \frac{1 - \mathbf{m}_{i,j,k} \cdot \mathbf{m}_{i,j,k+1}}{\delta z^2} \right) \delta V$$

$$E_k = K \sum_{i,j,k} |\mathbf{m}_{i,j,k} \times \mathbf{k}|^2 dV \equiv K \sum_{i,j,k} [1 - (\mathbf{m}_{i,j,k} \cdot \mathbf{k})^2] \delta V$$

$$E_d = -\frac{\mu_0}{2} \sum_{i,j,k=\frac{1}{2},\frac{3}{2},\dots} \mathbf{H}_d|_{i,j,k} \cdot \mathbf{M}_{i,j,k} \delta V$$

# Численное решение уравнений Ландау-Лифшица-Гильберта

$$\frac{d\vec{m}}{dt} = -\vec{m} \times \vec{h} - c\alpha\vec{m} \times (\vec{m} \times \vec{h})$$

$$\frac{\Delta\vec{m}}{\Delta t} = -\vec{m} \times \vec{h} - c\alpha\vec{m} \times (\vec{m} \times \vec{h})$$

$$\vec{m}^{t+\Delta t} = \vec{m}^t + \Delta t \frac{d\vec{m}}{dt}$$

# Алгоритм

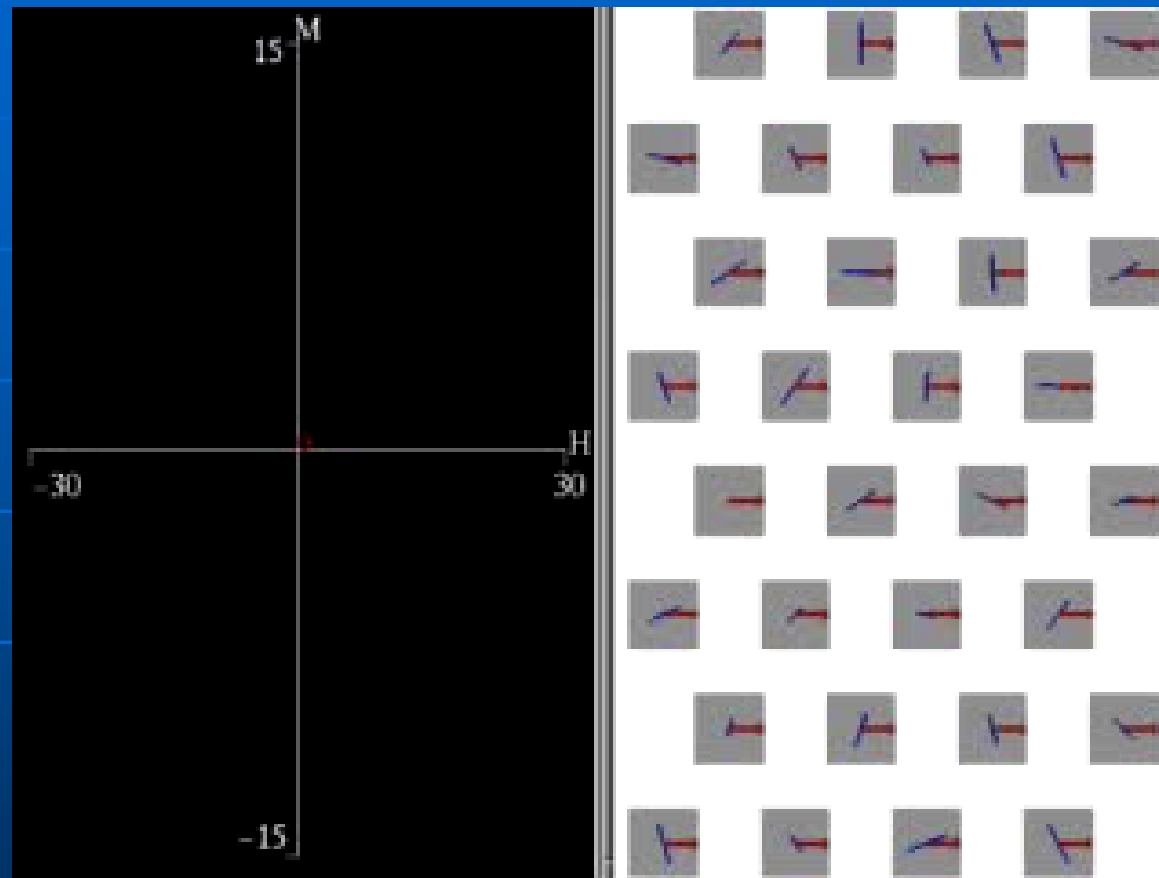
- Вычисляем обменное поле
- Вычисляем поле анизотропии
- Вычисляем магнитостатическое поле
- Вычисляем эффективное поле
- Интегрируем уравнение ЛЛГ
- Процедура повторяется пока намагниченность не стабилизируется

$$dm/dt < 10^{-9}$$

# Известные пакеты микромагнитного моделирования

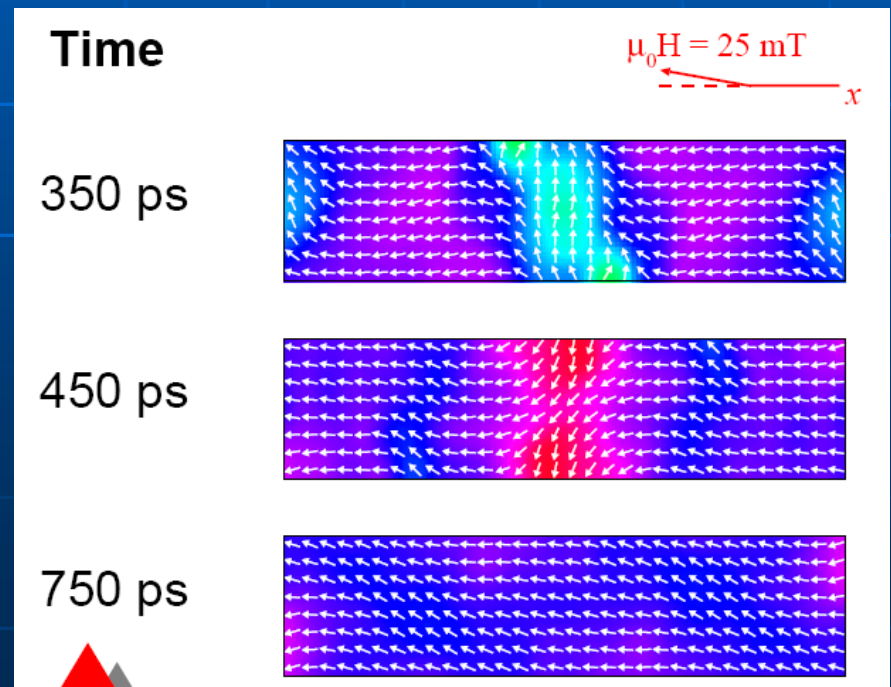
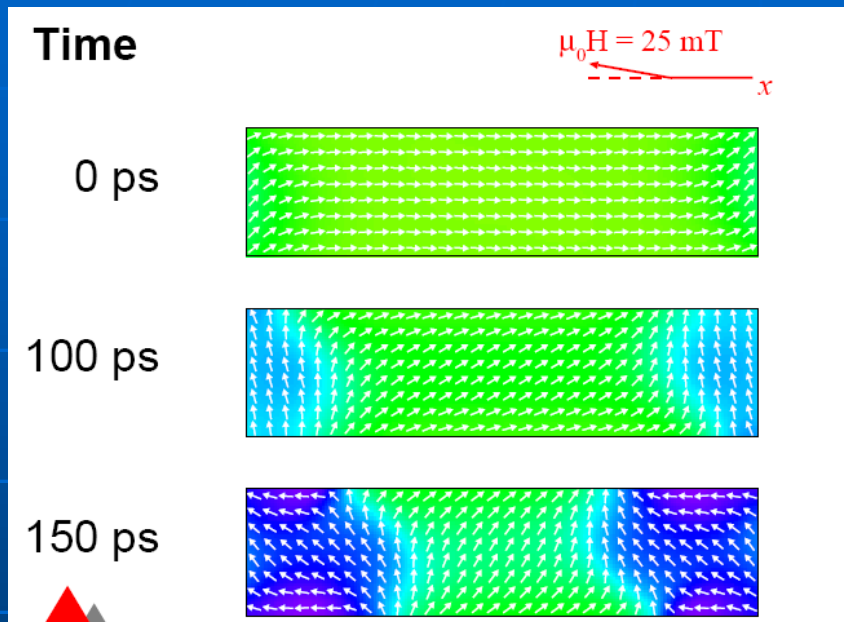
- LLG – коммерческий
- MagOasis – коммерческий
- MAGPAR – свободно распространяемый
- SimulMag – свободно распространяемый
- OOMMF – свободно распространяемый

# Пример: ансамбль FePt частиц



Hysteresis loop in self-assembled FePt nanoparticle array. Movie shows 32 spherical 4 nm particles (though displayed as squares) separated by 6 nm (center-to-center) in hexagonal array,  $H_K=15$  kOe, M vectors in red, easy axes in blue, traces hysteresis loop on MH graph

# Динамика процесса перемагничивания

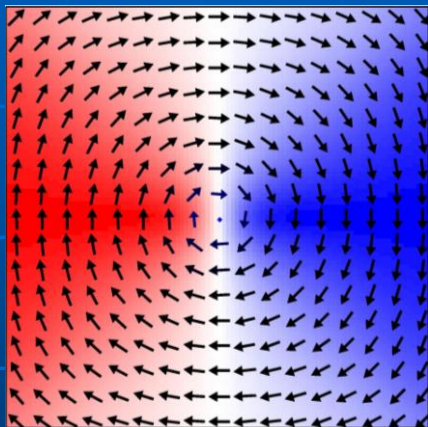


# Зависимость доменной структуры от размеров наноструктуры

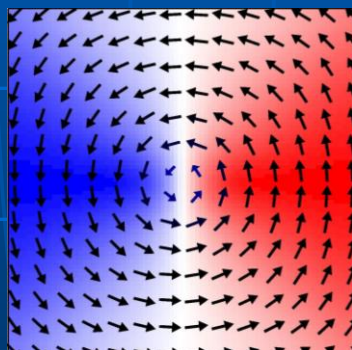
Поиск минимума полной энергии при отсутствии внешнего поля

$L=W$  (30-1000 nm);  $H=10\text{nm}$ , шаг сетки 2 nm

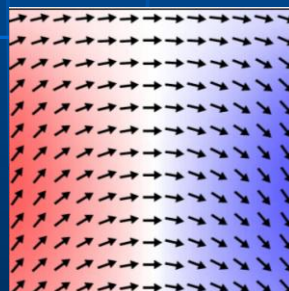
100 нм



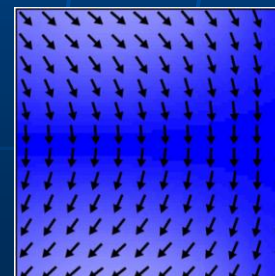
80 нм



77 нм



70 нм



50 нм



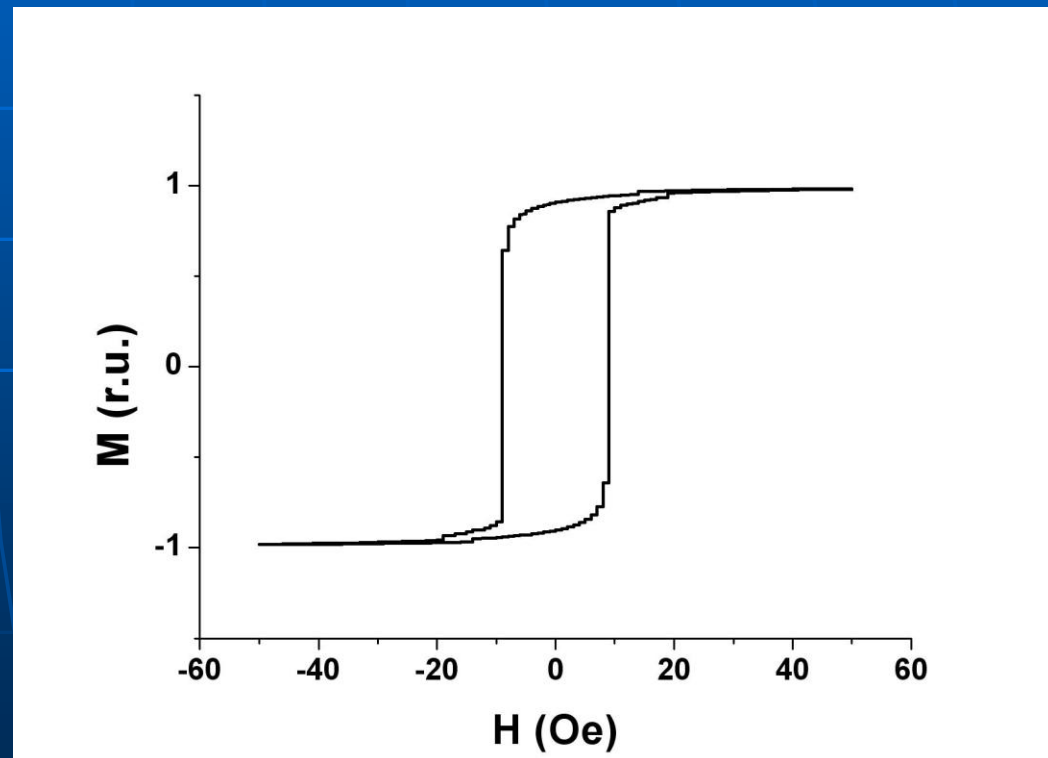
# Моделирование процесса перемагничивания

Минимизация полной энергии при фиксированном значении внешнего магнитного поля (поле в плоскости)

$W=1$  мкм

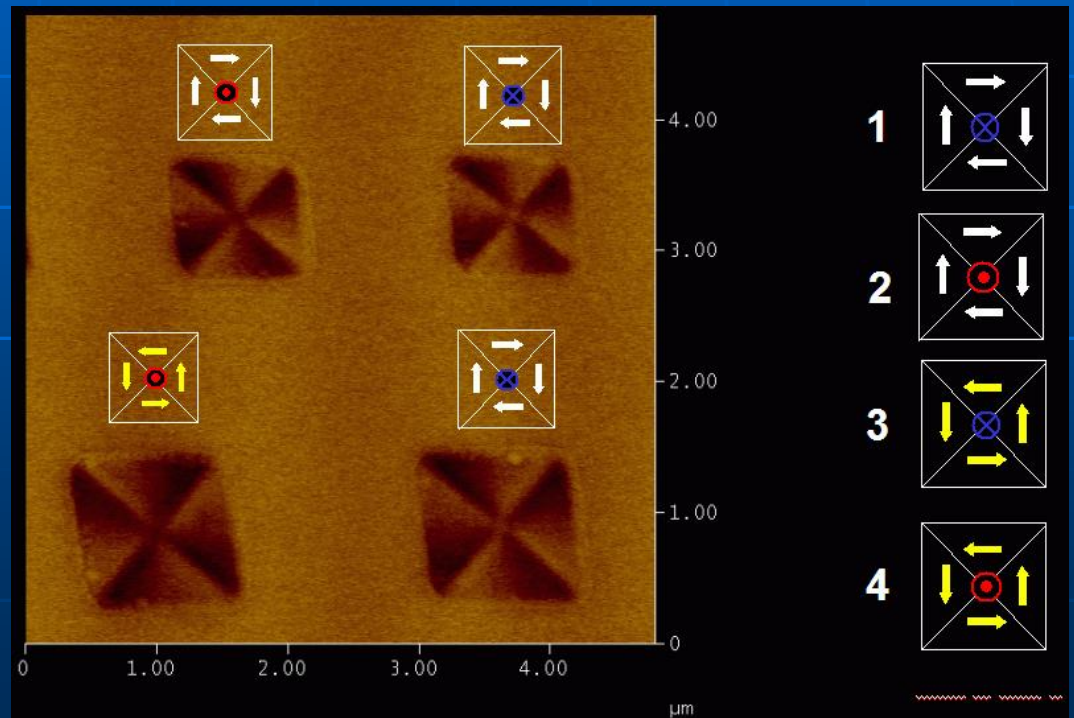
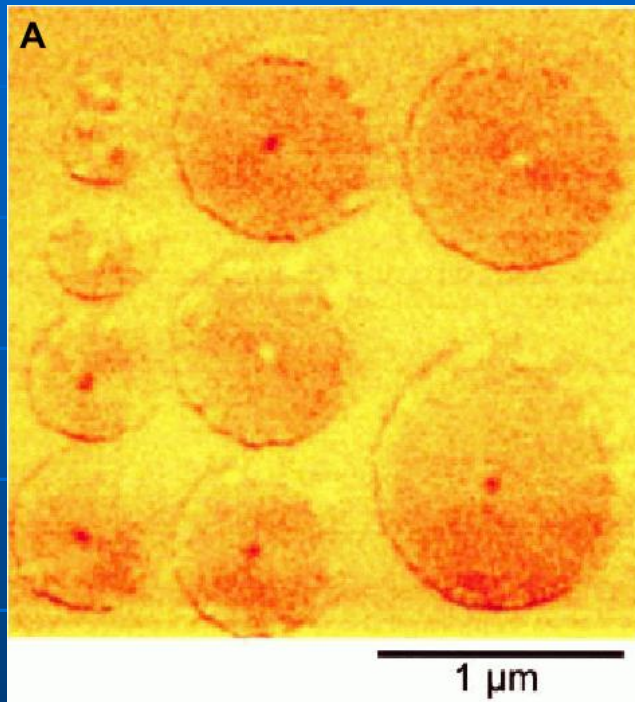
$L=3$  мкм

Сетка 10 нм

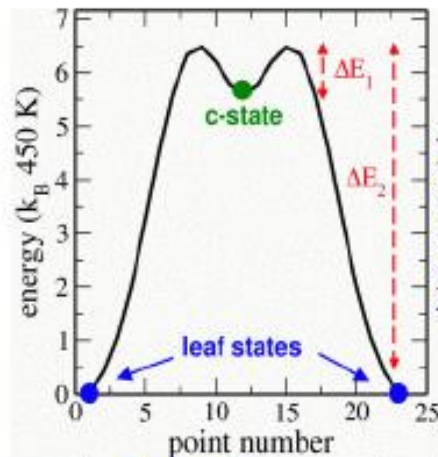


Пример петли гистерезиса для  $H=30$  нм

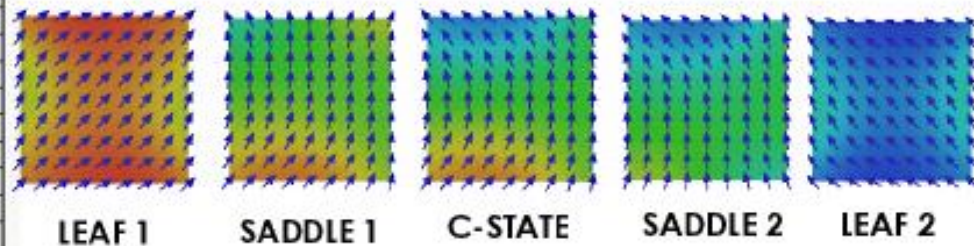
# Примеры экспериментальных наблюдений



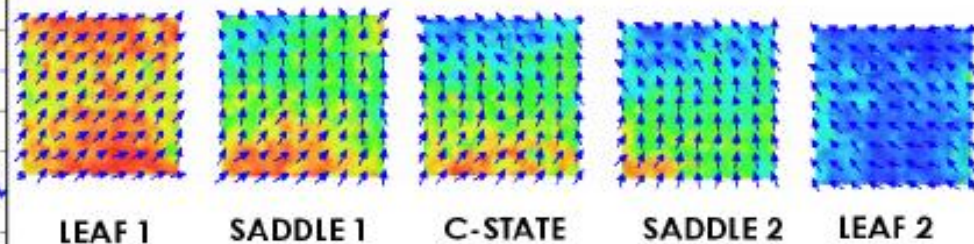
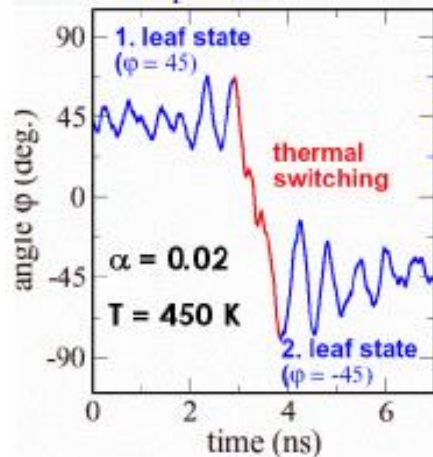
# Оценка энергетических барьеров для перемагничивания



ELASTIC BAND METHOD



THERMAL SWITCHING



Permalloy,  $90 \cdot 90 \cdot 4.5 \text{ nm}$

magnet.atp.tuwien.ac.at

# Проблемы микромагнитной модели

- Зависимость результатов от размера сетки
- Парадокс Брауна (учет дефектов)
- Ограничены размеры образцов
- Температура явным образом не учитывается

# Литература

- Attila Kokay Numerical investigations of micromagnetic structures, PhD thesis, Hungarian Academy of Science, 2005
- He Zhang A NUMERICAL STUDY OF DYNAMIC MICROMAGNETICS, MS thesis, 2006, University of New Orleans
- **Josef Fidler and Thomas Schrefl Micromagnetic modelling—the current state of the art**, J. Phys. D: Appl. Phys. **33** (2000) R135–R156.
- Amikam Aharoni Micromagnetics: past, present and future, Physica B 306 (2001) 1–9
- <http://math.nist.gov/oommf>
- <http://www.ctcms.nist.gov/~rdm/mumag.org.html>